

Рис. 1. Порошковые дифрактограммы сплавов системы Ag_8GeSe_6 – Ag_8GeTe_6 .

Порошковые дифрактограммы исходных соединений и твердых растворов были индицированы с помощью программы Topas V3.0 (табл. 3). Сравнительный анализ кристаллографических данных показал, что в области ≥ 40 мол. % Ag_8GeTe_6 твердые растворы при комнатной температуре имеют кубическую структуру. В то же время все закаленные от 800 К образцы также кристаллизуются в кубической решетке. Концентрационная зависимость периода кубической решетки твердых растворов подчиняется правилу Вегарда.

Диаграмма твердофазных равновесий

На рис. 3 представлена фазовая диаграмма взаимной системы А при 300 К, из которой видно, что взаимодействие твердых растворов на основе Ag_8GeTe_6 (δ), а также низкотемпературных модификаций соединений Ag_2Se (α'), Ag_2Te (β') и Ag_8GeSe_6 (γ) приводит к образованию в данной системе широких двухфазных полей $\alpha' + \gamma$ и $\beta' + \delta$, раз-

граниченных трехфазными областями $\alpha' + \gamma + \delta$ и $\alpha' + \beta' + \delta$. Двухфазные области $\alpha' + \beta'$ и $\gamma + \delta$ имеют вид узких полос вдоль соответствующих граничных квазибинарных систем. Все вышеуказанные фазовые области подтверждены рентгенографически. В качестве примеров на рис. 4 представлены порошковые дифрактограммы некоторых сплавов из ряда гетерогенных областей (рис. 3, точки 1–4). Видно, что дифракционные картины всех образцов находятся в соответствии с диаграммой твердофазных равновесий.

Поверхность ликвидуса

Поверхность ликвидуса (рис. 5) состоит из трех полей первичной кристаллизации. Наиболее протяженное поле 1 относится к кристаллизации α -фазы. Область 2 отвечает первичной кристаллизации δ -фазы. В узкой области составов, прилегающих к

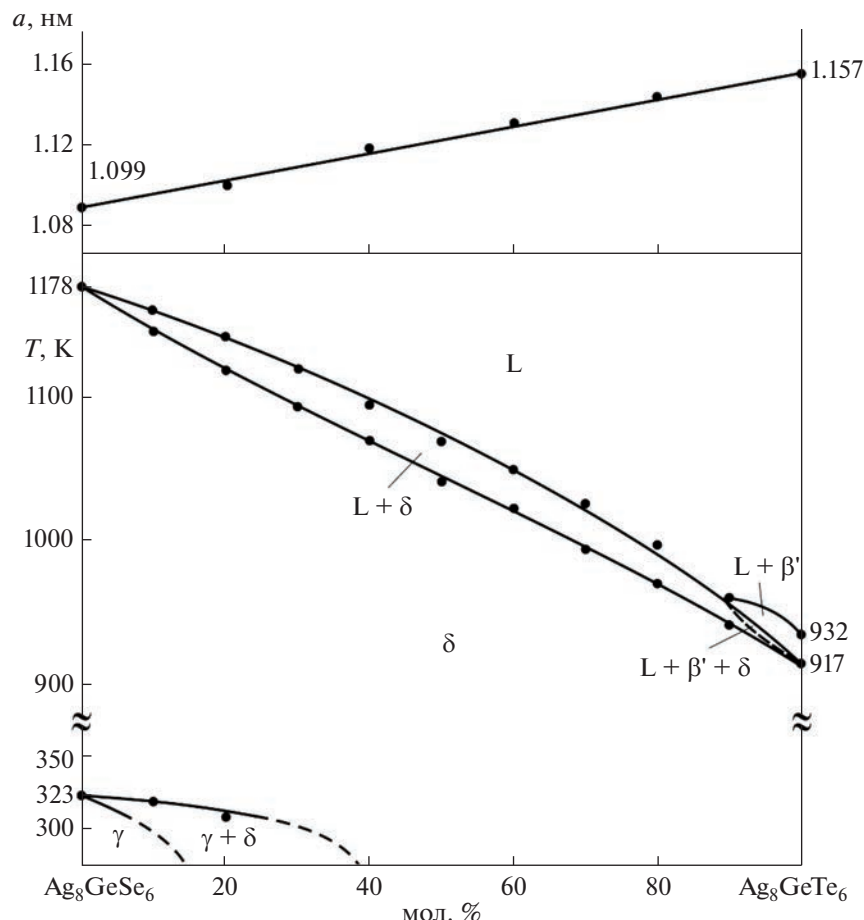


Рис. 2. T - x -фазовая диаграмма системы Ag_8GeSe_6 — Ag_8GeTe_6 и концентрационная зависимость периода решетки твердых растворов.

Таблица 3. Кристаллографические данные сплавов системы Ag_8GeSe_6 — Ag_8GeTe_6

Состав, мол. % Ag_8GeTe_6	Сингония, пр. гр, параметры решетки, нм		
	комнатная температура	закалка от 800 К	
Ag_8GeSe_6	Орторомбическая, $Pna2_1$, $a = 0.7841(2)$; $b = 0.7732(2)$; $c = 1.0911(3)$		Кубическая, $F43m$, $a = 1.0989(3)$
20	Двухфазный, $\gamma + \delta$		Кубическая, $F43m$, $a = 1.1105(4)$
40	Кубическая, $F43m$, $a = 1.1205(3)$		Кубическая, $F43m$, $a = 1.1211(4)$
60	Кубическая, $F43m$, $a = 1.1327(4)$		Кубическая, $F43m$, $a = 1.1335(4)$
80	Кубическая, $F43m$, $a = 1.1452(4)$		Кубическая, $F43m$, $a = 1.1456(4)$
Ag_8GeTe_6	Кубическая, $F43m$, $a = 1.1567(4)$		Кубическая, $F43m$, $a = 1.1572(4)$

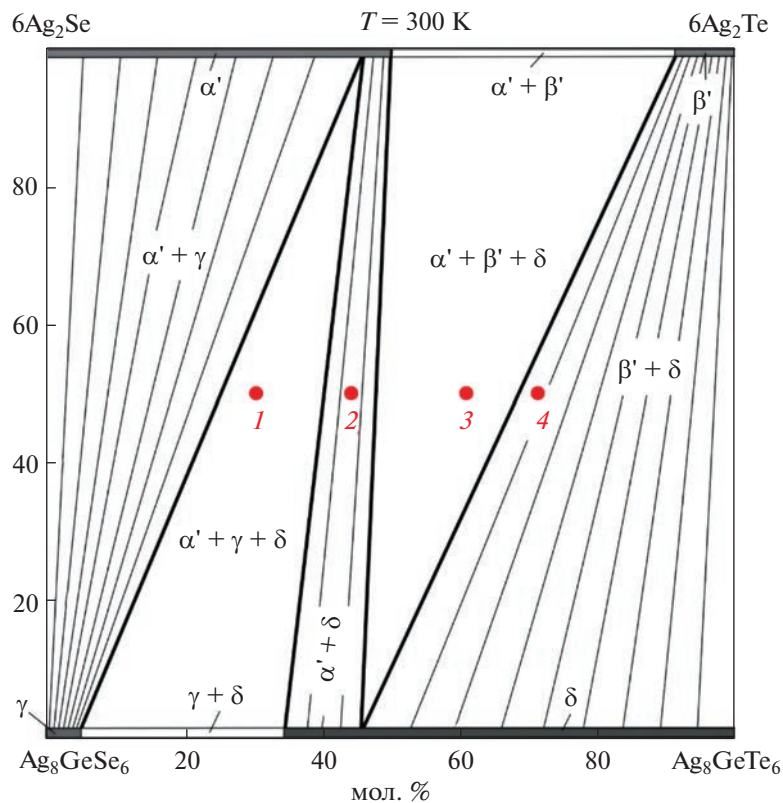


Рис. 3. Диаграмма твердофазных равновесий системы $6\text{Ag}_2\text{Se} + \text{Ag}_8\text{GeTe}_6 \leftrightarrow 6\text{Ag}_2\text{Te} + \text{Ag}_8\text{GeSe}_6$ при 300 К.

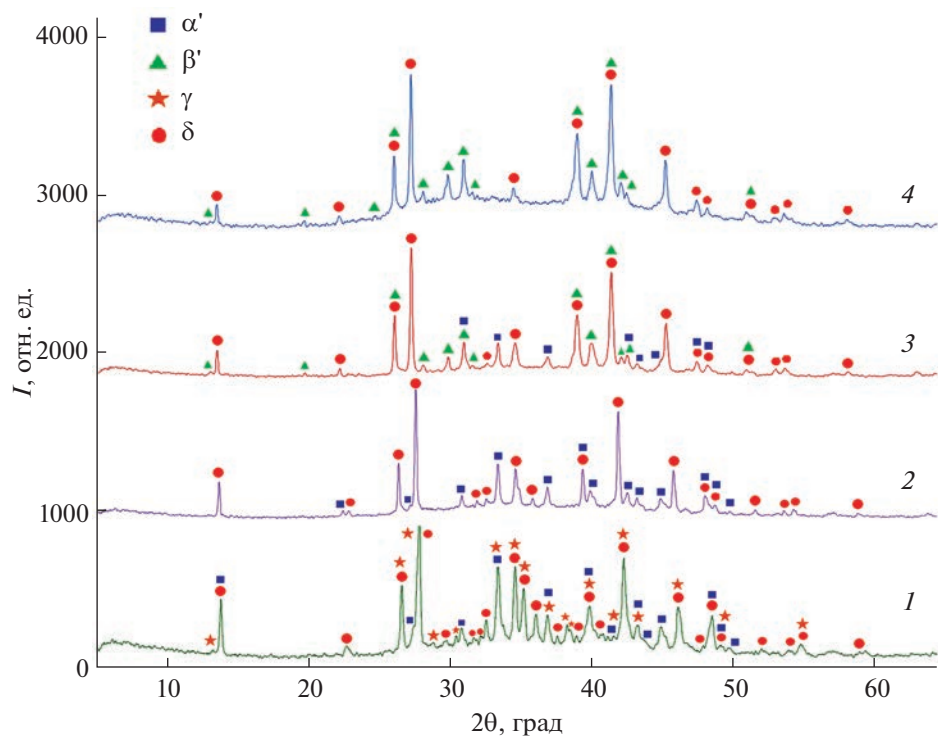


Рис. 4. Порошковые дифрактограммы сплавов 1–4, указанных на рис. 3.

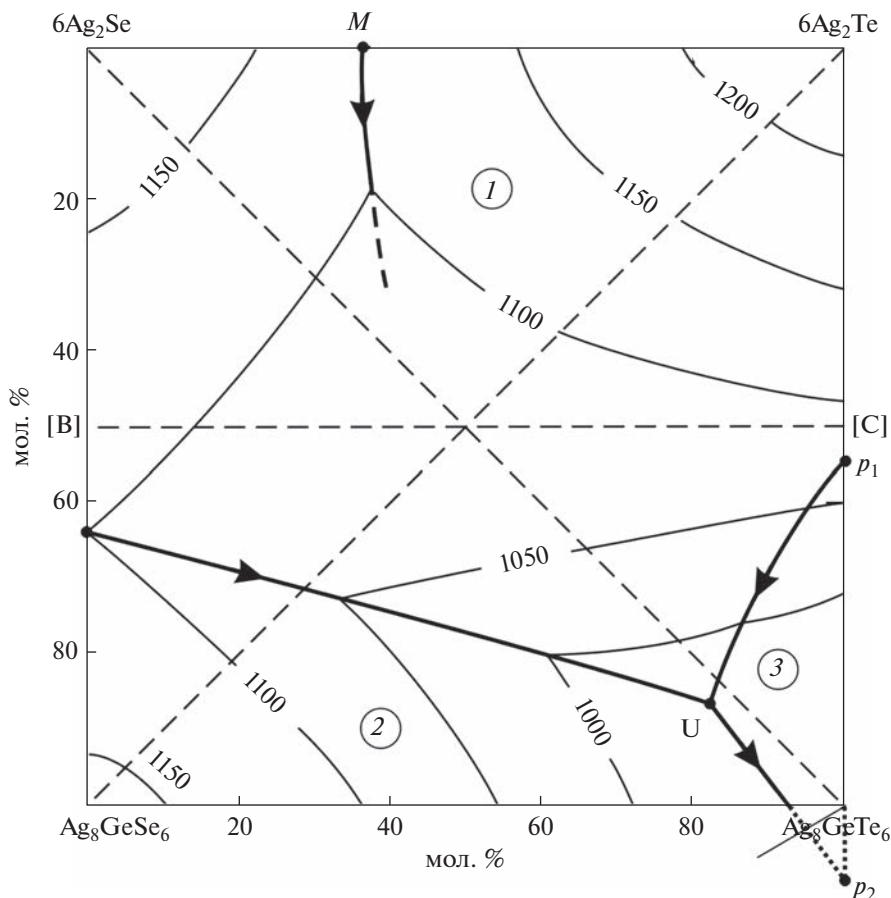
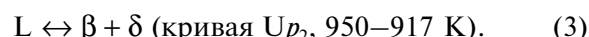


Рис. 5. Проекция поверхности ликвидуса системы А. Поля первичной кристаллизации фаз: 1 – α ; 2 – δ ; 3 – β . Пунктирные прямые – рассмотренные полигермические разрезы.

углу Ag₈GeTe₆ концентрационного квадрата, из расплава первично кристаллизуется β -фаза (поле 3).

Указанные поля первичной кристаллизации разграничены кривыми следующих моновариантных равновесий:



Часть последней кривой (точечная линия) находится вне рамок концентрационного квадрата системы А, что связано с инконгруэнтным плавлением Ag₈GeTe₆.

При 950 К в системе устанавливается нонвариантное переходное равновесие:



Для наглядной демонстрации процессов кристаллизации из расплава и фазовых превращений в субсолидусной области системы А построены

некоторые полигермические разрезы фазовой диаграммы.

Полигермические разрезы

Разрез Ag₈GeSe₆–6Ag₂Te (рис. 6) проходит через поля первичной кристаллизации α - и δ -фаз. В точке пересечения кривых ликвидуса (~70 мол. % Ag₈GeSe₆, 1050 K) из расплава кристаллизуется эвтектическая смесь $\alpha + \delta$. Ниже кривых ликвидуса этот моновариантный процесс протекает в широком интервале составов (20–98 мол. % Ag₈GeSe₆), что приводит к образованию на T – x -диаграмме трехфазной области L + $\alpha + \delta$. В интервале составов 30–98 мол. % Ag₈GeSe₆ кристаллизация завершается по этой реакции и образуется двухфазная смесь $\alpha + \delta$. В области составов 0–20 мол. % Ag₈GeSe₆ после первичной кристаллизации α -фазы протекает моновариантная реакция L + $\alpha \leftrightarrow \beta$.

Горизонталь при 950 K отвечает нонвариантной переходной реакции (4). При составе 20 мол. %

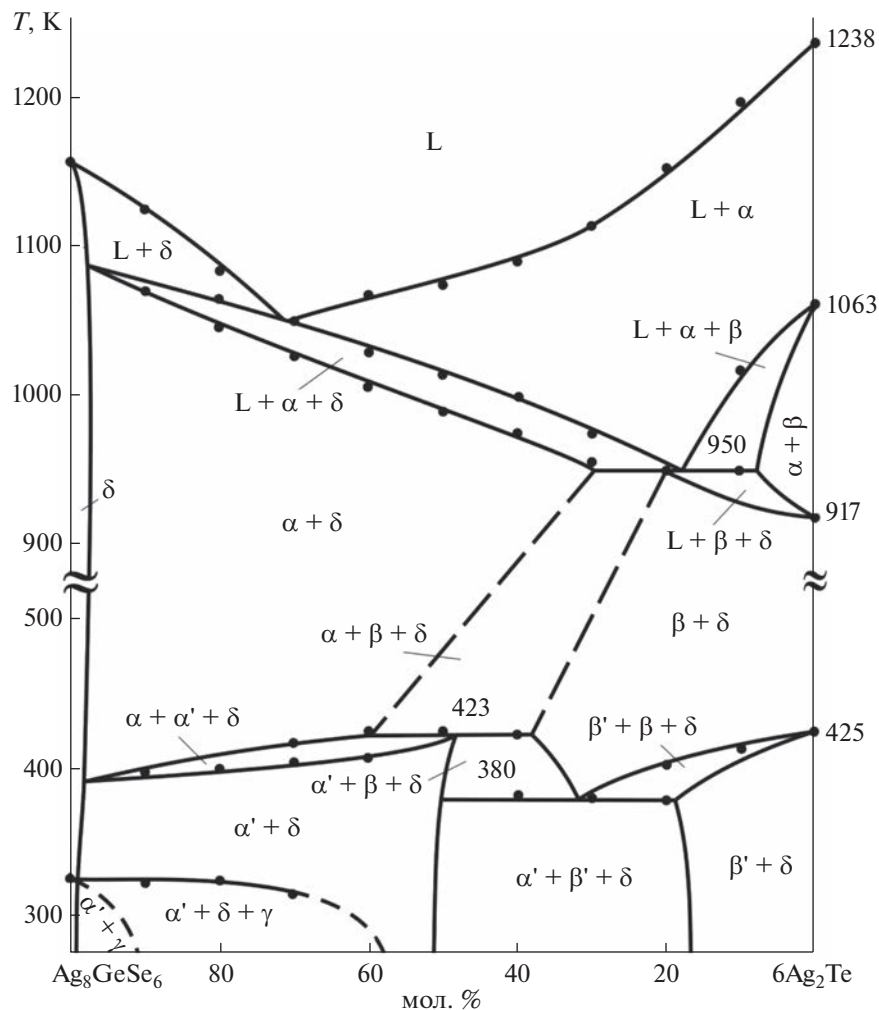


Рис. 6. Политермический разрез Ag_8GeSe_6 – $6\text{Ag}_2\text{Te}$ фазовой диаграммы системы А.

Ag_8GeSe_6 эта реакция завершается образованием двухфазной смеси $\beta + \delta$. В интервалах составов ~8–20 и 20–30 мол. % Ag_8GeSe_6 переходная реакция завершается с избытком одной из исходных фаз (L или α), что приводит к образованию трехфазных полей $L + \beta + \delta$ и $\alpha + \beta + \delta$.

При интерпретации данных ДТА в субсолидусной части этого и последующих политермических сечений приняты во внимание литературные данные [51] по фазовым равновесиям в системе Ag_2Se – Ag_2Te .

В субсолидусе T – x -диаграммы протекает ряд нон- и моновариантных процессов, связанных с полиморфизмом соединений Ag_2Se , Ag_2Te , Ag_8GeSe_6 и образованием твердых растворов на основе их различных кристаллических модификаций. Образование твердых растворов на основе двух мо-

дификаций Ag_2Se (α и α') сопровождается повышением температуры фазового перехода $\alpha \leftrightarrow \alpha'$ от 397 до 423 К, при которой протекает нонвариантная перитектоидная реакция $\alpha + \beta \leftrightarrow \alpha' + \delta$. При образовании β - и β' -фаз на основе промежуточной и низкотемпературной модификаций Ag_2Te температура фазового перехода $\beta \leftrightarrow \beta'$ понижается от 425 до 380 К, при которой в интервале составов ~20–50 мол. % Ag_8GeSe_6 протекает эвтектоидная реакция $\beta \leftrightarrow \alpha' + \beta' + \delta$. Понижается также температура полиморфного превращения Ag_8GeSe_6 (323 К), и в сплавах состава <60 мол. % Ag_8GeSe_6 этот переход происходит ниже комнатной температуры.

Разрез $6\text{Ag}_2\text{Se}$ – Ag_8GeTe_6 (рис. 7). Ликвидус состоит из двух кривых. В области составов 0–85 мол. % Ag_8GeTe_6 из расплава первично кри-

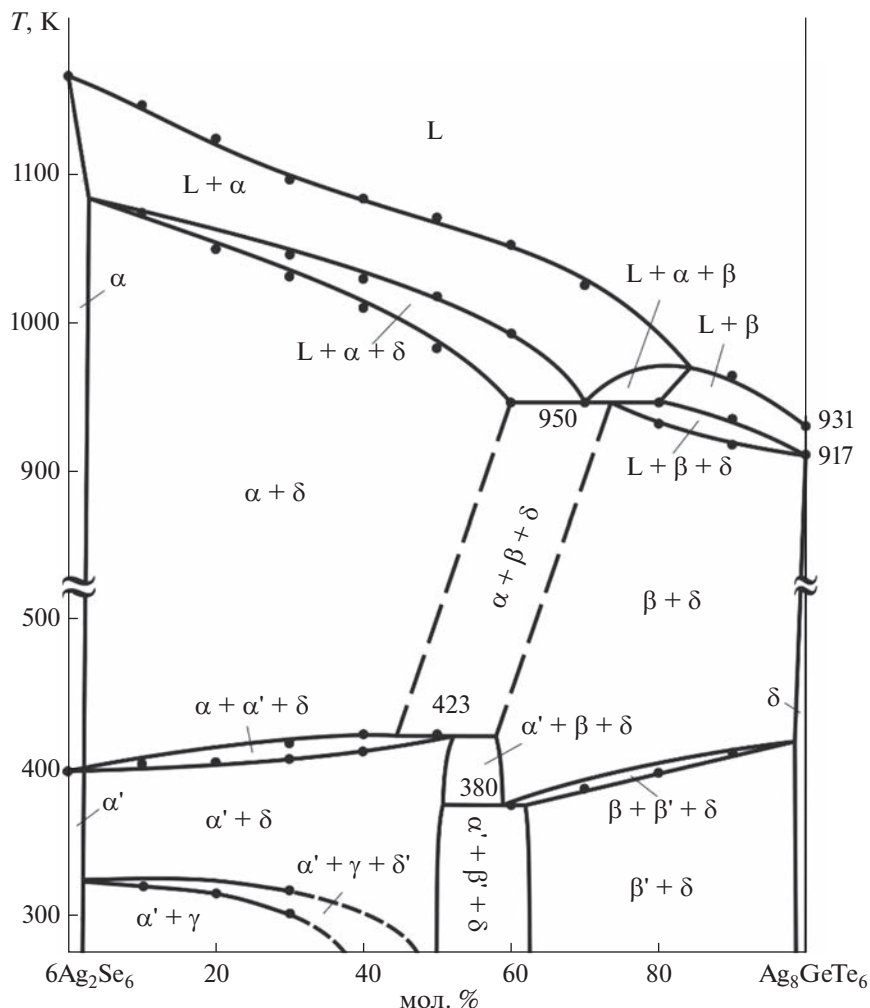


Рис. 7. Политермический разрез $6\text{Ag}_2\text{Se}-\text{Ag}_8\text{GeTe}_6$ фазовой диаграммы системы А.

сталлизуется α -фаза, а в области, более богатой Ag_8GeTe_6 , – β -фаза. Ниже ликвидуса в области составов 3–70 мол. % Ag_8GeTe_6 протекает моновариантная эвтектическая реакция (1), в области 70–85 мол. % Ag_8GeTe_6 – перитектоидная реакция (2), а в области >80 мол. % Ag_8GeTe_6 – эвтектическая реакция (3). В ходе этих реакций на T – x -диаграмме формируются трехфазные поля $L + \alpha + \delta$, $L + \alpha + \beta + \delta$ и $L + \beta + \delta$. Другие равновесия, нашедшие отражение на T – x -диаграмме данного разреза, качественно аналогичны разрезу $\text{Ag}_8\text{GeSe}_6-6\text{Ag}_2\text{Te}$ (рис. 6).

Разрез [B]–[C] (рис. 8). Здесь [B] и [C] – сплавы систем $6\text{Ag}_2\text{Se}-\text{Ag}_8\text{GeSe}_6$ и $6\text{Ag}_2\text{Te}-\text{Ag}_8\text{GeTe}_6$ с эквимолярными соотношениями компонентов (рис. 5). Этот разрез полностью находится в области первичной кристаллизации α -фазы. Характер фазо-

вых равновесий ниже ликвидуса качественно аналогичен рис. 7 и подробно описан выше.

Изотермическое сечение фазовой диаграммы при 1000 К

Это сечение (рис. 9) объемной T – x – y -диаграммы рассматриваемой взаимной системы построено нами на основе проекции поверхности ликвидуса и вышеописанных политермических разрезов. Кривые ab , bc и cd – изотермы при 1000 К на поверхностях ликвидуса δ -, α - и β -фаз (рис. 5). Они разграничивают область расплава L с двухфазными полями $L + \delta$, $L + \alpha$ и $L + \beta$ соответственно. Эти поля, а также двухфазные области $\alpha + \delta$ и $\alpha + \beta$ разграничены элементарными треугольниками $L + \alpha + \delta$ и $L + \alpha + \beta$ (рис. 9).

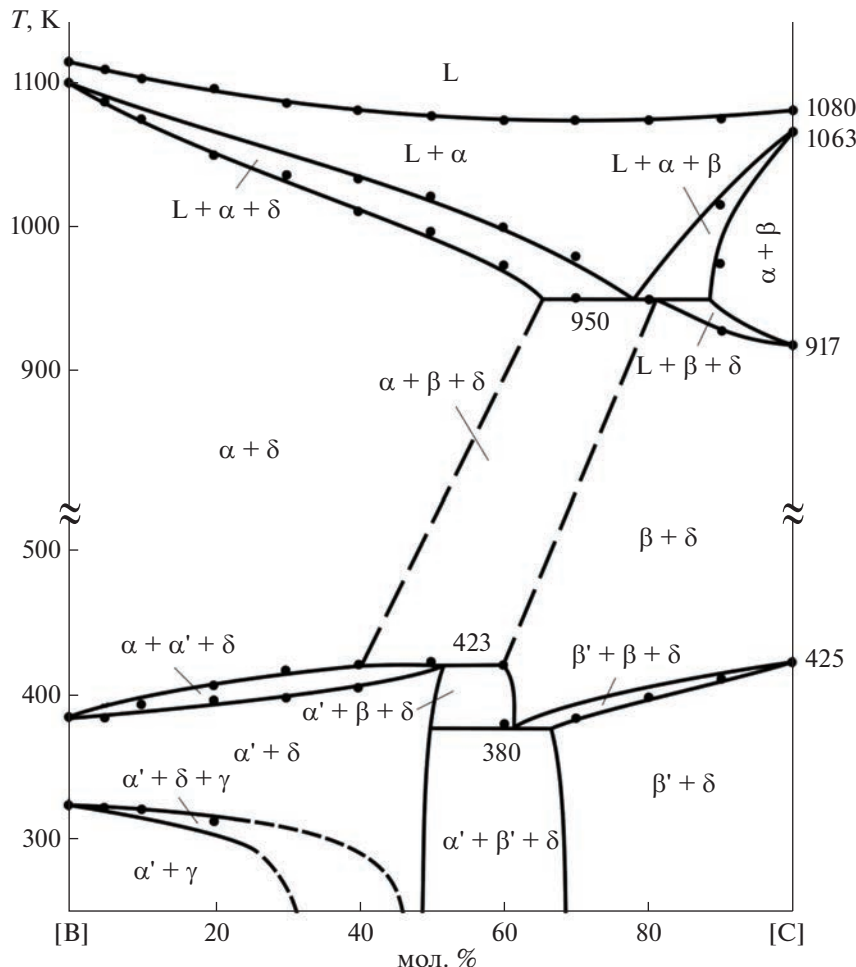


Рис. 8. Политермический разрез [B]–[C] фазовой диаграммы системы А.

Сопоставление рассмотренных выше политермических и изотермического сечений фазовой диаграммы системы А друг с другом, а также с проекцией поверхности ликвидуса (рис. 5) и диаграммой твердофазных равновесий при комнатной температуре (рис. 3) показывает их взаимосогласованность.

ЗАКЛЮЧЕНИЕ

Получена полная картина фазовых равновесий во взаимной системе $6\text{Ag}_2\text{Se} + \text{Ag}_8\text{GeTe}_6 \leftrightarrow 6\text{Ag}_2\text{Te} + \text{Ag}_8\text{GeSe}_6$ (А), включающая T – x -диаграмму граничной системы Ag_8GeSe_6 – Ag_8GeTe_6 , некоторые полиги- и изотермические сечения фазовой диаграммы, а также проекцию поверхности ликвидуса. В системе Ag_8GeSe_6 – Ag_8GeTe_6 выявлен непрерывный ряд твердых растворов между Ag_8GeTe_6 и $\text{HT}\text{-Ag}_8\text{GeSe}_6$ (δ -фаза). Образование твердых рас-

творов сопровождается понижением температуры полиморфного перехода Ag_8GeSe_6 , что приводит к стабилизации ионопроводящей кубической фазы при комнатной температуре и ниже.

Установлено, что система А является обратимо-взаимной, ликвидус состоит из трех поверхностей, отвечающих первичной кристаллизации α - $,$ β - и δ -фаз. Твердофазные равновесия в системе А имеют сложный характер, что связано с полиморфизмом исходных соединений и твердых растворов на их основе.

ФИНАНСИРОВАНИЕ РАБОТЫ

Работа выполнена при финансовой поддержке Фонда развития науки при Президенте Азербайджанской Республики (грант № EIF-BGM-4-RFTF-1/2017-21/11/4-M-12).

